

ТЕПЛОМАССООБМЕН В КОНТАКТНЫХ ВОЗДУХООХЛАДИТЕЛЯХ ТУРБОКОМПРЕССОРА

Замышкий О.В., канд. техн. наук, доцент,
Криворожский технический университет

Получены зависимости для расчета тепломассообмена в контактных воздухоохладителях турбокомпрессора.

Dependences for calculation heat and mass transfer in contact air coolers turbocompressor are received.

Проблема и ее связь с научными и практическими задачами. Существенным резервом повышения эффективности производства сжатого воздуха является применение в системе охлаждения турбокомпрессоров контактных воздухоохладителей [1]. Здесь, в отличие от применяемых в настоящее время воздухоохладителей поверхностного типа, не происходит ухудшение эффективности охлаждения воздуха из-за загрязнения теплообменных поверхностей, так как тепломассообмен протекает при непосредственном контакте сред.

Анализ исследований и публикаций. В результате анализа существующих конструкций контактных аппаратов установлено, что наиболее приемлемым вариантом для применения в качестве воздухоохладителей турбокомпрессора является система, состоящая из смесительного устройства типа трубы Вентури и центробежного сепаратора-каплеуловителя. Такой контактный аппарат сочетает достаточно высокую эффективность тепломассообмена с относительно небольшим гидравлическим сопротивлением. Но, к сожалению, в настоящее время, отсутствуют методики расчета таких воздухоохладителей.

Постановка задачи. Данные исследования проведены с целью получения зависимостей и методик расчета контактных воздухоохладителей турбокомпрессоров.

Изложение материала и результаты. В качестве исходной модели, для описанного выше контактного воздухоохладителя, принята физическая модель контактного тепломассообмена, предложенная Е. А. Андреевым в работе [2]. Особенностью данной модели является наличие двух пограничных слоев (насыщенного и ненасыщенного газа), существенно различающихся своими свойствами. В пер-

вом из них происходит изменение энталпии газа, во втором – изменение абсолютного влагосодержания газа при постоянной энталпии. Другой особенностью является наличие локального потока газа циркулирующего через пограничный слой. Принимаем, также, что тепломассообменные процессы в системе трубы Вентури – центробежный сепаратор протекают от момента распыления жидкости в горловине смесителя, до полного разделения смеси в сепараторе.

Тогда, задача тепломассообмена в контактном воздухоохладителе может быть решена с помощью двух уравнений – уравнения интенсивности тепломассообмена и уравнения относительной интенсивности тепломассообмена, т. е.

$$\left. \begin{aligned} K_m &= f(\text{Re}_k, Bm_1, LD) \\ \Delta_t &= \Delta_d \end{aligned} \right\},$$

где K_m – коэффициент интенсивности тепломассообмена; Re_k – комбинированное число Рейнольдса – Фруда; Bm_1 – число подобия тепловых эквивалентов; Δ_t – коэффициент интенсивности теплообмена; LD – параметрическое число подобия; Δ_d – коэффициент интенсивности массообмена.

Критериальное уравнение интенсивности тепломассообмена может быть записано в виде степенной функции:

$$K_m = A \text{Re}_k^{x_2} Bm_1^{x_3} LD^{x_4}. \quad (1)$$

На основе приведенных выше зависимостей разработаны методики расчета тепломассообмена в контактном воздухоохладителе турбокомпрессора.

С целью определения показателей степеней критериального уравнения интенсивности тепломассообмена и проверки адекватности, приведенных выше, теоретических зависимостей, для начальных условий характерных при промежуточном и концевом охлаждении сжатого воздуха в турбокомпрессорах проведены лабораторные исследования.

Сжатый воздух из компрессора подается в воздухонагреватель 1, где доводится до необходимой температуры. Далее поступает в смесительное устройство, включающее трубу Вентури 2 и дистанционные трубы 3, где происходит смешивание с холодной водой подаваемой из бака 11 и ее дробление, далее воздушно-водяная смесь поступает в коленный сепаратор-каплеуловитель 4. Труба Вентури 2 выполнена в виде вставки из текстолита, с диаметром горловины d_2 . Все остальные элементы смесительного устройства и сепаратора из-

готовлены из полиэтилена высокого давления. Такая конструкция обеспечивает высокую точность экспериментов, так как позволяет поместить термопары в потоки сред непосредственно после их разделения. Кроме того, использование неметаллических материалов позволяет существенно снизить потери тепла в окружающую среду, а также значительно уменьшить тепловую инерционность установки. Во влагоотделителе 5 происходит окончательное разделение потоков воды и воздуха, причем нагретая вода направляется в сборный бак 16, а охлажденный воздух в измерительный коллектор 7 и далее в атмосферу.

Лабораторные исследования контактного воздухоохладителя турбокомпрессора выполняются на специально разработанной опытной установке (рис. 1).

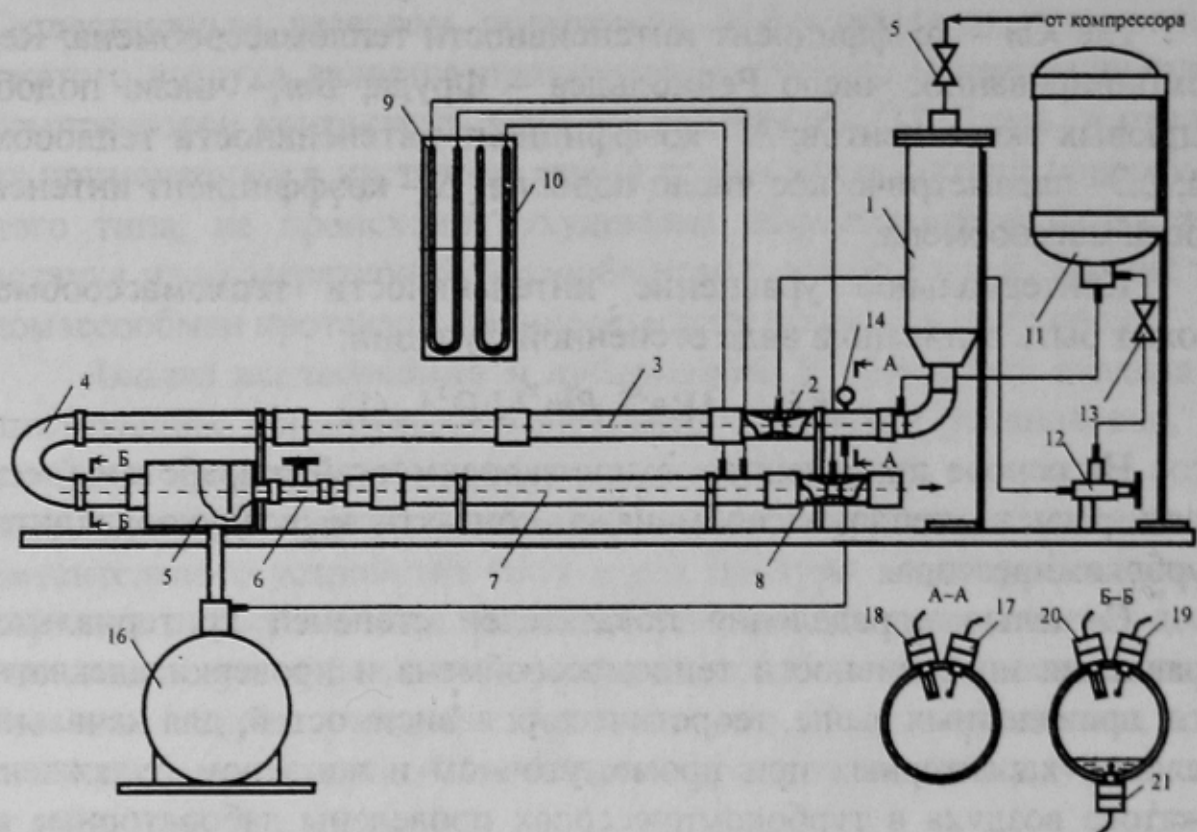


Рисунок 1- Схема лабораторного контактного воздухоохладителя турбокомпрессора

Температура воздуха регулируется изменением напряжения на воздухонагревателе лабораторным автотрансформатором. При помощи вентиля 6 поддерживается необходимое рабочее давление воздуха. Вентиль 15 служит для регулирования расхода воздуха. Расход воздуха определяется при помощи измерительного коллектора 7 с

расходомерным устройством типа трубы Вентури и жидкостным дифференциальным манометром 9. Расход воды подаваемой из бака 11 регулируется игольчатым краном 12.

К параметрам подлежащим регистрации при производстве исследований относятся: перепад давления на расходомерном устройстве h_d , давление $p_{\text{в1}}$ и начальная (после воздухонагревателя) температура воздуха $t_{\text{в1}}$, начальная температура воздуха по мокрому термометру t_1 , начальная температура воды $t_{\text{в1}}$, конечная температура воздуха $t_{\text{в2,он}}$, конечная температура воздуха по мокрому термометру $t_{2,\text{он}}$ и конечная температура воды $t_{\text{в2,он}}$. Объем воды прошедшей через установку в течение опыта V_w , а также продолжительность эксперимента τ .

Для измерения температуры воздуха и воды применяются открытые низко-инерционные термопары в специально разработанном корпусе, установленные в потоке, что позволило повысить точность экспериментов и уменьшить продолжительность опыта. Термопары 17 и 19 (см. рис. 1) служат для измерения начальной $t_{\text{в1}}$ и конечной $t_{\text{в2,он}}$ температуры воздуха соответственно. Термопары 18 и 20 снабжены батистовым чехлом, предварительно смоченным водой, и служат для измерения температуры воздуха по мокрому термометру начальной t_1 и конечной $t_{2,\text{он}}$ соответственно. Термопара 21 измеряет конечную температуру воды $t_{\text{в2,он}}$. Начальная температура воды в баке 11 определяется ртутным термометром.

Эксперимента проводятся в два этапа. Первый этап экспериментов включает определение исходных данных для расчета показателей степеней критериального уравнения. На втором этапе проводится экспериментальная проверка критериального уравнения интенсивности тепломассообмена и уравнения относительной интенсивности тепломассообмена.

На первом этапе начальное давление воздуха $p_{\text{в1}}$ варьировалось в пределах от 0,2 МПа до 0,75 МПа, начальная температура воздуха $t_{\text{в1}}$ – от 50 до 200 °C

Второй этап состоит из трех серий экспериментов. Первая серия экспериментов проводится для определения характеристик установки при давлениях характерных для промежуточного воздухоохладителя №1 ($p_{\text{в1}} = 0,23$ МПа), для промежуточного воздухоохладителя №2 ($p_{\text{в1}} = 0,4$ МПа), третья для концевого воздухоохладителя ($p_{\text{в1}} = 0,72$ МПа). Начальная температура воздуха $t_{\text{в1}} = 135$ °C, во всех сериях.

В пределах каждой серии экспериментов массовый расход воздуха G_e изменяется от $6,93 \cdot 10^{-3}$ до $18,8 \cdot 10^{-3}$ кг/с, расход воды фиксирован. Варьирование длины реактивной зоны смесительного устройства осуществляется изменением количества дистанционных труб 3

Все эксперименты включают выполнение следующих операций. Включается компрессор. При помощи вентиляй 15 и 6 устанавливаются расход и давление воздуха соответственно. Начальная температура воздуха регулируется лабораторным автотрансформатором. Игольчатым краном 12 устанавливается расход воды. Открывается кран подачи воды 13 и одновременно включается секундомер. Регистрация показаний дифференциального манометра и потенциометров производится после достижения температурной стабилизации на каждом режиме – определяется по неизменности показаний потенциометров в течение 30 с. Затем кран подачи воды 13 перекрывается и выключается секундомер. Сливается вода из баков 11 и 16 и определяется ее объем при помощи мерного цилиндра.

Обработка экспериментальных данных, с целью определения показателей степеней при числах подобия в критериальном уравнении (1), проводилась методом наименьших квадратов с помощью специально разработанного алгоритма компьютерной программы.

Использовались данные 140 опытов. Числа подобия изменились в следующих пределах: комбинированное число Рейнольдса – Фруда $Re_k = 4,2 \cdot 10^7 - 1,3 \cdot 10^{10}$; критерий тепловых эквивалентов $Bm_1 = 1,5 - 27,5$; параметрическое число подобия $LD = 3,2 - 25,3$.

Полученная зависимость имеет вид

$$Km = 3,9 Re_k^{-0,1} Bm_1^{-0,45} LD^{-0,01}.$$

Как видно из величины показателя степени критерия подобия LD ($x_4 \rightarrow 0$), коэффициент тепломассообмена Km практически автомоделен относительно LD , поэтому окончательно принимаем:

$$Km = 4,03 Re_k^{-0,1} Bm_1^{-0,45}.$$

При проверке критериального уравнения интенсивности тепломассообмена и уравнения относительной интенсивности тепломассообмена расчетные значения, конечной температуры воды t_{w2} , конечной температура воздуха t_{e2} и конечного влагосодержания

воздуха d_2 , сравнивались с данными, полученными экспериментальным путем.

Результаты экспериментов приведены в табл. 1 – табл. 3.

При проверке уравнения относительной интенсивности тепло-массообмена среднее отклонение опытных и расчетных данных не превышает 5,3 при доверительной вероятности 0,98. При проверке уравнения интенсивности тепломассообмена среднее отклонение расчетных и опытных данных для всего диапазона d_2 и t_{s2} составляет 5 %; максимальное не превышает 10 %.

Таблица 1 - Результаты лабораторных исследований контактного воздухоохладителя ($p_{s1}=0,23$ МПа, $G_w=0,05$ кг/с, $t_{w1}=20^\circ\text{C}$, $t_{s1}=135^\circ\text{C}$, $t_1=37,5^\circ\text{C}$, $d_1=17,9 \cdot 10^{-3}$ кг/кг, $d_2=6 \cdot 10^{-3}$ м)

| Расход воздуха массовый, $G_a \cdot 10^3$, кг/с | Конечная темпера-тура воды, $t_{w2,оп}/t_{w2}$, °C | Конечная темпера-тура воз-духа, $t_{s2,оп}/t_{s2}$, °C | Конечное влагосо-держание, $d_{2,оп}/d_2 \cdot 10^3$, кг/кг | Число Рейнольдса-Фруда, $Re_k \cdot 10^{-8}$ | Критерий тепловых эквива-лентов, Bm_1 | Коэффи-циент те-пломассо-обмена, Km |
|--|---|---|--|--|---|---------------------------------------|
| 16,5 | 29,2/29,67 | 31,0/31,2 | 12,14/12,1 | 13,7 | 2,65 | 0,297 |
| 14,4 | 28,0/28,51 | 35,4/35,02 | 10,28/10,3 | 12,0 | 2,89 | 0,290 |
| 11,6 | 26,8/26,91 | 36,8/36,99 | 9,04/9,01 | 0,96 | 3,35 | 0,277 |
| 9,47 | 25,8/25,70 | 37,8/38,18 | 8,08/8,05 | 0,79 | 3,88 | 0,246 |
| 6,93 | 24,0/24,24 | 38,8/39,08 | 7,0/6,94 | 0,58 | 4,93 | 0,245 |

Таблица 2 - Результаты лабораторных исследований контактного воздухоохладителя ($p_{s1}=0,4$ МПа, $G_w=0,05$ кг/с, $t_{w1}=20^\circ\text{C}$, $t_{s1}=135^\circ\text{C}$, $t_1=47,5^\circ\text{C}$, $d_1=17,4 \cdot 10^{-3}$ кг/кг, $d_2=5 \cdot 10^{-3}$ м)

| Расход воздуха массовый, $G_a \cdot 10^3$, кг/с | Конечная темпера-тура воды, $t_{w2,оп}/t_{w2}$, °C | Конечная темпера-тура воз-духа, $t_{s2,оп}/t_{s2}$, °C | Конечное влагосо-держание, $d_{2,оп}/d_2 \cdot 10^3$, кг/кг | Число Рейнольдса-Фруда, $Re_k \cdot 10^{-8}$ | Критерий тепловых эквива-лентов, Bm_1 | Коэффи-циент те-пломас-сообмена, Km |
|--|---|---|--|--|---|---------------------------------------|
| 18,8 | 31,6/31,83 | 32,2/32,52 | 7,30/7,34 | 46,57 | 2,71 | 0,260 |
| 16,5 | 30,0/30,45 | 33,4/33,83 | 6,65/6,60 | 40,94 | 2,94 | 0,254 |
| 14,4 | 29,4/29,19 | 35,0/34,9 | 6,0/5,91 | 35,80 | 3,22 | 0,247 |
| 11,6 | 27,2/27,45 | 36,4/36,12 | 5,05/4,99 | 28,78 | 3,76 | 0,236 |
| 9,47 | 26,4/26,13 | 37,0/36,78 | 4,29/4,32 | 23,50 | 4,39 | 0,244 |
| 6,93 | 24,2/24,54 | 37,4/37,12 | 3,41/3,55 | 17,2 | 5,63 | 0,207 |

Таблица 3 - Результаты лабораторных исследований контактного воздухоохладителя ($p_{\text{в1}}=0,72 \text{ МПа}$, $G_{\text{в}}=0,06 \text{ кг/с}$, $t_{\text{в1}}=20^\circ\text{C}$, $t_{\text{в1}}=135^\circ\text{C}$, $t_1=58,5^\circ\text{C}$, $d_1=16,4 \cdot 10^{-3} \text{ кг/кг}$, $d_2=4 \cdot 10^{-3} \text{ м}$)

| Расход воздуха массовый, $G_{\text{в}} \cdot 10^3$, кг/с | Конечная темпера-тура воды, $t_{\text{в2,оп}}/t_{\text{в2}}$, $^\circ\text{C}$ | Конечная темпера-тура воз-духа, $t_{\text{в2,оп}}/t_{\text{в2}}$, $^\circ\text{C}$ | Конечное влагосо-держание, $d_{2,\text{оп}}/d_2 \cdot 10^3$, кг/кг | Число Рейнольдса-Фруда, $\text{Re}_k \cdot 10^{-9}$ | Критерий тепловых эквива-лентов, Bm_1 | Коэффи-циент те-пломас-сообмена, Km |
|---|---|---|---|---|---|---------------------------------------|
| 18,8 | 30,6/30,37 | 32,6/32,86 | 3,51/3,55 | 17,76 | 3,52 | 0,203 |
| 16,5 | 29,0/29,15 | 33,0/33,4 | 3,0/3,12 | 15,62 | 3,86 | 0,197 |
| 14,4 | 28,2/28,04 | 34,2/33,81 | 3,0/2,75 | 13,66 | 4,27 | 0,190 |
| 11,6 | 26,6/26,50 | 34,4/34,16 | 2,28/2,24 | 10,98 | 5,07 | 0,180 |
| 9,47 | 25,6/25,34 | 34,4/34,23 | 1,75/1,89 | 8,96 | 5,98 | 0,171 |
| 6,93 | 24,2/23,95 | 34,0/33,96 | 1,42/1,49 | 6,56 | 7,81 | 0,156 |

Выводы и направление дальнейших исследований. Таким образом, в результате проведенных исследований получены зависимости для расчета тепломассообмена в контактных воздухоохладителях турбокомпрессора. Проведена их экспериментальная проверка. Разработаны методики расчета контактных воздухоохладителей. В дальнейшем планируется проведение исследований с целью выбора рациональных параметров контактных воздухоохладителей.

Список источников

1. Замыцкий О.В. Анализ способов охлаждения при производстве сжатого воздуха для горных машин//Горн. инф.-анал. бюл./Моск. горн. ун-т. Научн. техн. сб. – 2001. – №10. – С.67-70.
2. Андреев Е. А. Расчет тепло- и массообмена в контактных аппаратах.–Л.: Энергоатомиздат. Ленингр. отд., 1985.–192 с.